



Matriz de Covariâncias dos Erros de Previsão (Matriz **B**)

Carlos Frederico Bastarz



Workshop DIMNT

**“A Assimilação de Dados nas Componentes do Sistema Terrestre:
Status e Perspectivas Futuras no Contexto do MONAN”**

06 de outubro de 2022





1. Introdução

- 1.1 Um Desafio
- 1.2 Modelagem e Assimilação
- 1.3 Fontes de Incerteza

2. Importância da Matriz **B**

- 2.1 Distribuição Gaussiana dos erros
- 2.2 Incremento de Análise

3. Cálculo da Matriz **B**

- 3.1 Aspecto da Matriz **B**
- 3.2 Método NMC
- 3.3 Outros Aspectos

4. Resultados

- 4.1 Produção Técnica
- 4.2 Exemplos Estruturas **B**
- 4.3 Experimento Obs. Única

5. MONAN

- 5.1 JEDI
- 5.2 SABER

6. Dificuldades e Desafios

- 6.1 Algumas Questões



Introdução

Um Desafio

Fontes de incerteza são uma característica intrínseca a qualquer sistema dinâmico.

Na década de 1960, Edward N. Lorenz mostrou que a atmosfera possui previsibilidade de duas semanas.





Introdução

Um Desafio

Fontes de incerteza são uma característica intrínseca a qualquer sistema dinâmico.

Na década de 1960, Edward N. Lorenz mostrou que a atmosfera possui previsibilidade de duas semanas.



Um Desafio:

Como fazer com que os modelos atuais possam prever bem dentro deste limite (e além dele)?



Introdução

Modelagem e Assimilação

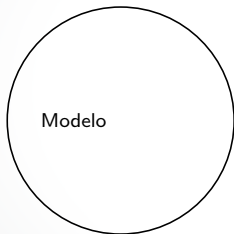
Os modelos de PNT são realizados dentro de uma estrutura de modelagem que compreende:



Introdução

Modelagem e Assimilação

Os modelos de PNT são realizados dentro de uma estrutura de modelagem que compreende:

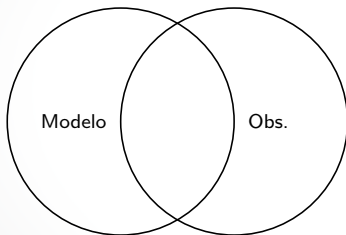




Introdução

Modelagem e Assimilação

Os modelos de PNT são realizados dentro de uma estrutura de modelagem que compreende:

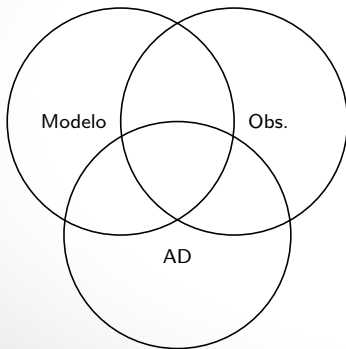




Introdução

Modelagem e Assimilação

Os modelos de PNT são realizados dentro de uma estrutura de modelagem que compreende:

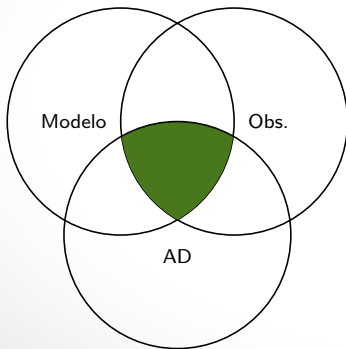




Introdução

Modelagem e Assimilação

Os modelos de PNT são realizados dentro de uma estrutura de modelagem que compreende:

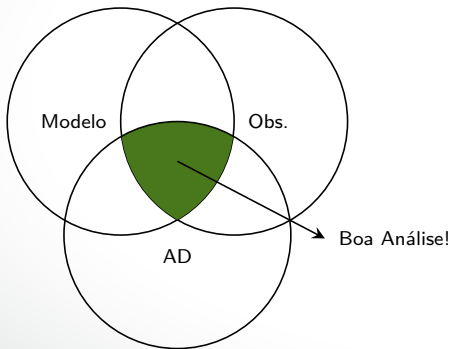




Introdução

Modelagem e Assimilação

Os modelos de PNT são realizados dentro de uma estrutura de modelagem que compreende:



Modelagem e Assimilação:

Uma vez estabelecido o processo de modelagem, as fontes de incerteza devem ser abordadas para que o seu impacto seja mínimo.



Introdução

Fontes de Incerteza

Função Custo Variacional Tridimensional (3DVar):

Em geral, as fontes de incerteza do processo de modelagem são representadas por:

- ▶ Modelo (eg., dinâmica e física);



Introdução

Fontes de Incerteza

Função Custo Variacional Tridimensional (3DVar):

Em geral, as fontes de incerteza do processo de modelagem são representadas por:

- ▶ Modelo (eg., dinâmica e física);

Na AD, estes erros são modelados em matrizes de covariâncias que tratam das relações espaço-temporais entre as quantidades observadas e diagnosticadas/prognosticadas.



Função Custo Variacional Tridimensional (3DVar):

Em geral, as fontes de incerteza do processo de modelagem são representadas por:

- ▶ Modelo (eg., dinâmica e física);
- ▶ Observações (eg., medição, instrumento, grau de processamento);

Na AD, estes erros são modelados em matrizes de covariâncias que tratam das relações espaço-temporais entre as quantidades observadas e diagnosticadas/prognosticadas.



Função Custo Variacional Tridimensional (3DVar):

Em geral, as fontes de incerteza do processo de modelagem são representadas por:

- ▶ Modelo (eg., dinâmica e física);
- ▶ Observações (eg., medição, instrumento, grau de processamento);
- ▶ Assimilação de Dados (eg., operadores de observação, modelos adjunto e tangente linear, tamanho conjunto).

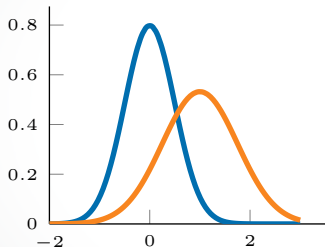
Na AD, estes erros são modelados em matrizes de covariâncias que tratam das relações espaço-temporais entre as quantidades observadas e diagnosticadas/prognosticadas.



Importância da Matriz \mathbf{B}

Distribuição Gaussiana dos Erros

Suposição - Distribuição Gaussiana:



$$f(x) = \frac{1}{\sigma\sqrt{2\pi}} e^{-\frac{1}{2}\left(\frac{x-\mu}{\sigma}\right)^2}$$

$$\mu = 0, \sigma = 0,5$$

$$\mu = 1, \sigma = 0,75$$

$$P_b(\mathbf{x} - \mathbf{x}_b) \propto e^{\left[-\frac{1}{2}(\mathbf{x}-\mathbf{x}_b)^T \mathbf{B}^{-1}(\mathbf{x}-\mathbf{x}_b)\right]}$$

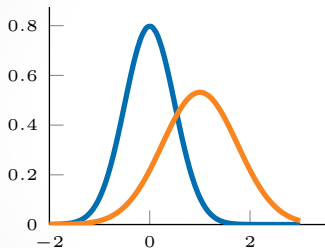
$$\mathbf{B} = \langle (\mathbf{x}_b - \mathbf{x}_t)(\mathbf{x}_b - \mathbf{x}_t)^T \rangle$$



Importância da Matriz \mathbf{B}

Distribuição Gaussiana dos Erros

Suposição - Distribuição Gaussiana:



$$f(x) = \frac{1}{\sigma\sqrt{2\pi}} e^{-\frac{1}{2}\left(\frac{x-\mu}{\sigma}\right)^2}$$

$$\mu = 0, \sigma = 0,5$$

$$\mu = 1, \sigma = 0,75$$

$$P_b(\mathbf{x} - \mathbf{x}_b) \propto e^{\left[-\frac{1}{2}(\mathbf{x} - \mathbf{x}_b)^T \mathbf{B}^{-1}(\mathbf{x} - \mathbf{x}_b)\right]}$$

$$\mathbf{B} = \langle (\mathbf{x}_b - \mathbf{x}_t)(\mathbf{x}_b - \mathbf{x}_t)^T \rangle$$

Função Custo Variacional Tridimensional (3DVar):

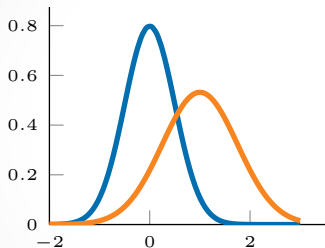
$$J(\mathbf{x}) = \frac{1}{2}(\mathbf{x} - \mathbf{x}^b)^T \mathbf{B}^{-1}(\mathbf{x} - \mathbf{x}^b) + \frac{1}{2}[\mathbf{y}^o - \mathbf{H}(\mathbf{x})]^T \mathbf{R}^{-1}[\mathbf{y}^o - \mathbf{H}(\mathbf{x})]$$



Importância da Matriz \mathbf{B}

Distribuição Gaussiana dos Erros

Suposição - Distribuição Gaussiana:



$$f(x) = \frac{1}{\sigma\sqrt{2\pi}} e^{-\frac{1}{2}\left(\frac{x-\mu}{\sigma}\right)^2}$$

$$\mu = 0, \sigma = 0,5$$

$$\mu = 1, \sigma = 0,75$$

$$P_b(\mathbf{x} - \mathbf{x}_b) \propto e^{\left[-\frac{1}{2}(\mathbf{x} - \mathbf{x}_b)^T \mathbf{B}^{-1}(\mathbf{x} - \mathbf{x}_b)\right]}$$

$$\mathbf{B} = \langle (\mathbf{x}_b - \mathbf{x}_t)(\mathbf{x}_b - \mathbf{x}_t)^T \rangle$$

Função Custo Variacional Tridimensional (3DVar):

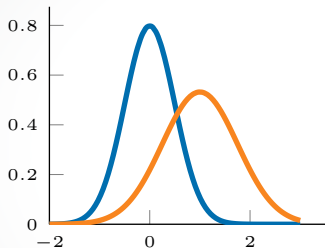
$$J(\mathbf{x}) = \frac{1}{2}(\mathbf{x} - \mathbf{x}^b)^T \mathbf{B}^{-1}(\mathbf{x} - \mathbf{x}^b) + \frac{1}{2}[\mathbf{y}^o - \mathbf{H}(\mathbf{x})]^T \mathbf{R}^{-1}[\mathbf{y}^o - \mathbf{H}(\mathbf{x})]$$



Importância da Matriz **B**

Distribuição Gaussiana dos Erros

Suposição - Distribuição Gaussiana:



$$f(x) = \frac{1}{\sigma\sqrt{2\pi}} e^{-\frac{1}{2}\left(\frac{x-\mu}{\sigma}\right)^2}$$

$$\mu = 0, \sigma = 0,5$$

$$\mu = 1, \sigma = 0,75$$

$$P_b(\mathbf{x} - \mathbf{x}_b) \propto e^{\left[-\frac{1}{2}(\mathbf{x} - \mathbf{x}_b)^T \mathbf{B}^{-1}(\mathbf{x} - \mathbf{x}_b)\right]}$$

$$\mathbf{B} = \langle (\mathbf{x}_b - \mathbf{x}_t)(\mathbf{x}_b - \mathbf{x}_t)^T \rangle$$

Função Custo Variacional Tridimensional (3DVar):

$$J(\mathbf{x}) = \underbrace{\frac{1}{2}(\mathbf{x} - \mathbf{x}^b)^T \mathbf{B}^{-1}(\mathbf{x} - \mathbf{x}^b)}_{J_b} + \underbrace{\frac{1}{2}[\mathbf{y}^o - \mathbf{H}(\mathbf{x})]^T \mathbf{R}^{-1}[\mathbf{y}^o - \mathbf{H}(\mathbf{x})]}_{J_o}$$



Importância da Matriz \mathbf{B}

Incremento de Análise

Equação de Análise:

Quando $\nabla_{\mathbf{x}} J(\mathbf{x}) = 0 \Rightarrow \mathbf{x} = \mathbf{x}^a$, a função custo variacional resolve essencialmente o mesmo problema que a Interpolação Ótima:

$$\mathbf{x}^a = \mathbf{x}^b + (\mathbf{B}^{-1} + \mathbf{H}^T \mathbf{R}^{-1} \mathbf{H})^{-1} (\mathbf{H}^T \mathbf{R}^{-1}) [\mathbf{y}^o - H(\mathbf{x}^b)]$$



Importância da Matriz **B**

Incremento de Análise

Equação de Análise:

Quando $\nabla_{\mathbf{x}} J(\mathbf{x}) = 0 \Rightarrow \mathbf{x} = \mathbf{x}^a$, a função custo variacional resolve essencialmente o mesmo problema que a Interpolação Ótima:

$$\mathbf{x}^a = \mathbf{x}^b + (\mathbf{B}^{-1} + \mathbf{H}^T \mathbf{R}^{-1} \mathbf{H})^{-1} (\mathbf{H}^T \mathbf{R}^{-1}) [\mathbf{y}^o - \mathbf{H}(\mathbf{x}^b)]$$

Aplicação do Incremento de Análise:

$$\mathbf{H} = [0, \dots, 0, 1, 0, \dots, 0]$$

$$\mathbf{x}^a = \mathbf{x}^b + (\mathbf{B}^{-1} + \mathbf{H}^T \mathbf{R}^{-1} \mathbf{H})^{-1} (\mathbf{H}^T \mathbf{R}^{-1}) [\mathbf{y}^o - \mathbf{H}(\mathbf{x}^b)]$$

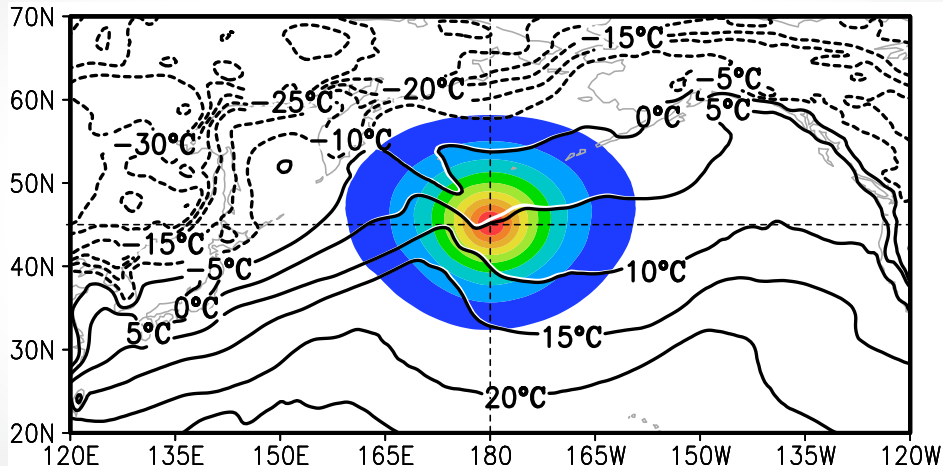
$$\mathbf{x}^a - \mathbf{x}^b = \frac{\mathbf{B} \mathbf{H}^T [\mathbf{y}^o - \mathbf{H}(\mathbf{x}^b)]}{\mathbf{R} + \mathbf{H} \mathbf{B} \mathbf{H}^T}$$

$$\mathbf{x}^a - \mathbf{x}^b \propto \mathbf{B} \mathbf{H}^T$$



Importância da Matriz B

Incremento de Análise

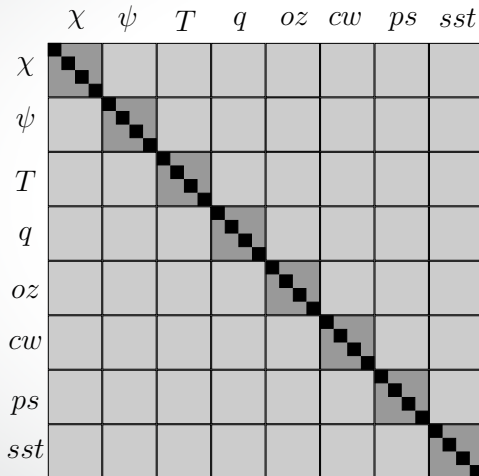


Incremento de uma observação de temperatura.



Cálculo da Matriz **B**

Aspecto da Matriz **B**



- Variâncias;
- Covariâncias;
- Autocovariâncias.

- ▶ Função de Corrente (ψ);
- ▶ Velocidade potencial (χ);
- ▶ Temperatura absoluta (T);
- ▶ Pressão em superfície (ps);
- ▶ Ozônio (oz);
- ▶ Conteúdo de água líquida (cw);
- ▶ Temperatura da superfície do mar (sst).



Cálculo da Matriz **B**

Método NMC

Considerações:

- ▶ O método **NMC** - *National Modeling Center* (PARRISH; DERBER, 1992), preconiza que a correlação espacial dos erros do modelo são semelhantes à correlação espacial das diferenças das previsões de (eg.) 48 e 24 horas;



Cálculo da Matriz **B**

Método NMC

Considerações:

- ▶ O método **NMC** - *National Modeling Center* (PARRISH; DERBER, 1992), preconiza que a correlação espacial dos erros do modelo são semelhantes à correlação espacial das diferenças das previsões de (eg.) 48 e 24 horas;
- ▶ **Suposição:** crescimento linear dos erros de previsão durante as primeiras horas (similar ao método de perturbação da previsão por conjuntos utilizando EOFs);



Cálculo da Matriz **B**

Método NMC

Considerações:

- ▶ O método **NMC** - *National Modeling Center* (PARRISH; DERBER, 1992), preconiza que a correlação espacial dos erros do modelo são semelhantes à correlação espacial das diferenças das previsões de (eg.) 48 e 24 horas;
- ▶ **Suposição:** crescimento linear dos erros de previsão durante as primeiras horas (similar ao método de perturbação da previsão por conjuntos utilizando EOFs);
- ▶ Exemplo par válido:
GFCTNMC20131224002013122600F.fct.TQ0299L064 (48h)
GFCTNMC20131225002013122600F.fct.TQ0299L064 (24h)



Cálculo da Matriz **B**

Outros Aspectos

Balanço e importância de ψ :

- ▶ Para contabilizar o balanço entre massa e vento, o **GSI** (*Gridpoint Statistical Interpolation*) utiliza a ψ e uma relação estatística linear entre ψ e as partes balanceadas das variáveis de controle do sistema ($\psi, Tv_u, \chi_u, ps_u, rh_{q1,q2}$);



Cálculo da Matriz B

Outros Aspectos

Balanco e importância de ψ :

- ▶ Para contabilizar o balanço entre massa e vento, o **GSI** (*Gridpoint Statistical Interpolation*) utiliza a ψ e uma relação estatística linear entre ψ e as partes balanceadas das variáveis de controle do sistema (ψ , Tv_u , χ_u , ps_u , $rh_{q1,q2}$);
- ▶ Projeção da função de corrente sobre a parte balanceada da Tv , χ e ps ($Tv_u = Tv - \mathbf{G}\psi$; $\chi_u = \chi - \mathbf{C}\psi$ e $ps_u = ps - \mathbf{W}\psi$). Exemplo:

$$Tv = Tv_b + Tv_u \implies Tv_u = Tv - Tv_b$$

$$\text{Com } Tv_b = \mathbf{G}\psi \implies Tv_u = Tv - \mathbf{G}\psi$$

$$\mathbf{G} = \frac{\langle \psi, Tv \rangle}{\langle \psi, \psi \rangle}$$



Cálculo da Matriz B

Outros Aspectos

Balanço e importância de ψ :

- ▶ Para contabilizar o balanço entre massa e vento, o **GSI** (*Gridpoint Statistical Interpolation*) utiliza a ψ e uma relação estatística linear entre ψ e as partes balanceadas das variáveis de controle do sistema (ψ , Tv_u , χ_u , ps_u , $rh_{q1,q2}$);
- ▶ Projeção da função de corrente sobre a parte balanceada da Tv , χ e ps ($Tv_u = Tv - \mathbf{G}\psi$; $\chi_u = \chi - \mathbf{C}\psi$ e $ps_u = ps - \mathbf{W}\psi$). Exemplo:

$$Tv = Tv_b + Tv_u \implies Tv_u = Tv - Tv_b$$

$$\text{Com } Tv_b = \mathbf{G}\psi \implies Tv_u = Tv - \mathbf{G}\psi$$

$$\mathbf{G} = \frac{\langle \psi, Tv \rangle}{\langle \psi, \psi \rangle}$$

- ▶ ψ define boa parte do incremento de análise para Tv , χ e ps ;



Cálculo da Matriz B

Outros Aspectos

Balanco e importância de ψ :

- ▶ Para contabilizar o balanço entre massa e vento, o **GSI** (*Gridpoint Statistical Interpolation*) utiliza a ψ e uma relação estatística linear entre ψ e as partes balanceadas das variáveis de controle do sistema (ψ , Tv_u , χ_u , ps_u , $rh_{q1,q2}$);
- ▶ Projeção da função de corrente sobre a parte balanceada da Tv , χ e ps ($Tv_u = Tv - \mathbf{G}\psi$; $\chi_u = \chi - \mathbf{C}\psi$ e $ps_u = ps - \mathbf{W}\psi$). Exemplo:

$$Tv = Tv_b + Tv_u \implies Tv_u = Tv - Tv_b$$

$$\text{Com } Tv_b = \mathbf{G}\psi \implies Tv_u = Tv - \mathbf{G}\psi$$

$$\mathbf{G} = \frac{\langle \psi, Tv \rangle}{\langle \psi, \psi \rangle}$$

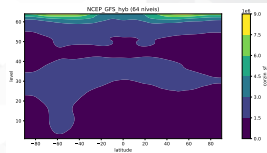
- ▶ ψ define boa parte do incremento de análise para Tv , χ e ps ;
- ▶ \mathbf{G} , \mathbf{C} e \mathbf{W} contabilizam as correlações entre ψ e Tv , χ e ps respectivamente.

Cálculo da Matriz **B**

Outros Aspectos

Contribuição de ψ para Tv ($Tv = Tv_u + \mathbf{G}\psi$):

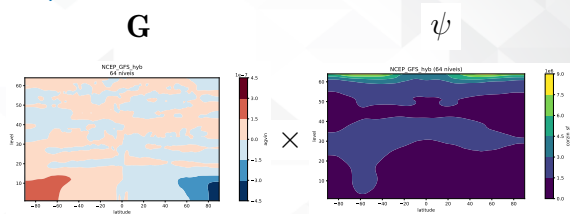
ψ



Cálculo da Matriz **B**

Outros Aspectos

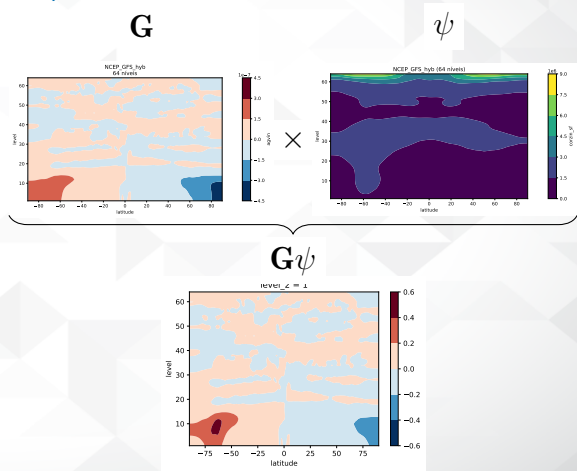
Contribuição de ψ para Tv ($Tv = Tv_u + \mathbf{G}\psi$):



Cálculo da Matriz **B**

Outros Aspectos

Contribuição de ψ para Tv ($Tv = Tv_u + \mathbf{G}\psi$):

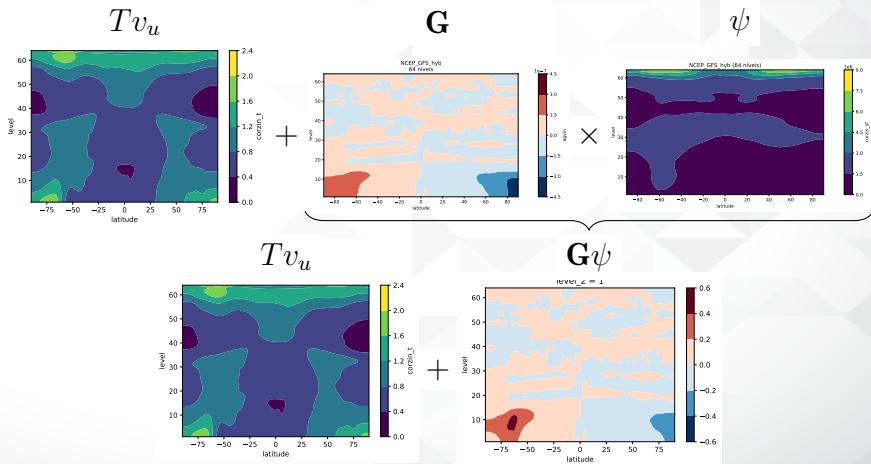




Cálculo da Matriz **B**

Outros Aspectos

Contribuição de ψ para Tv ($Tv = Tv_u + \mathbf{G}\psi$):





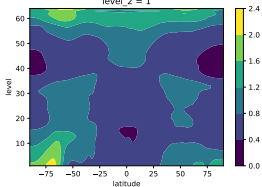
Cálculo da Matriz **B**

Outros Aspectos

Contribuição de ψ para Tv ($Tv = Tv_u + G\psi$):

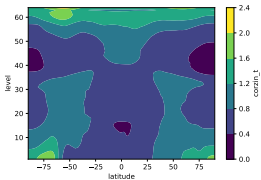
Tv

level_z = 1



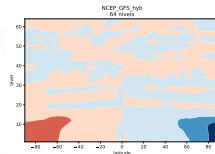
=

Tv_u

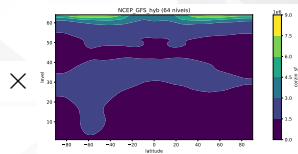


+

G



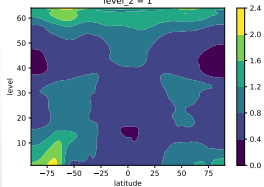
ψ



×

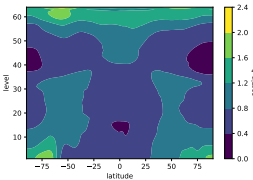
Tv

level_z = 1



=

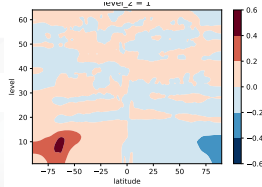
Tv_u



+

G ψ



level_z = 1








- ▶  Artigo com a aplicação deste método NMC baseado no modelo BAM V0 (FIGUEROA et al., 2016): **“Matriz de Covariâncias dos Erros de Previsão Aplicada ao Sistema de Assimilação de Dados Global do CPTEC: Experimentos com Observação Única”** (BASTARZ; HERDIES; SAPUCCI, 2017);








- ▶  Artigo com a aplicação deste método NMC baseado no modelo BAM V0 (FIGUEROA et al., 2016): **“Matriz de Covariâncias dos Erros de Previsão Aplicada ao Sistema de Assimilação de Dados Global do CPTEC: Experimentos com Observação Única”** (BASTARZ; HERDIES; SAPUCCI, 2017);
- ▶  Técnica para o cálculo da matriz **B** baseada no programa escrito pelo [Dr. Daryl Kleist](#) (NCEP) - podemos recalcular a matriz sempre que o modelo sofrer alterações;








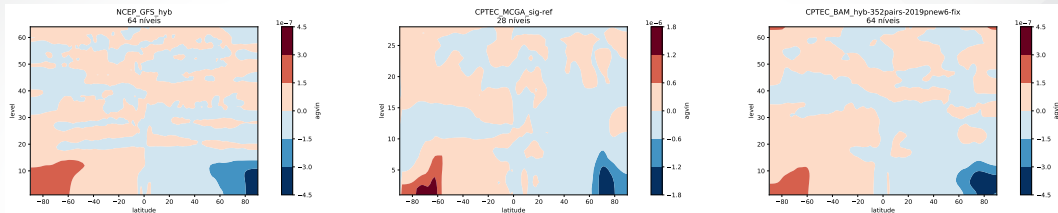
- ▶  Artigo com a aplicação deste método NMC baseado no modelo BAM V0 (FIGUEROA et al., 2016): **“Matriz de Covariâncias dos Erros de Previsão Aplicada ao Sistema de Assimilação de Dados Global do CPTEC: Experimentos com Observação Única”** (BASTARZ; HERDIES; SAPUCCI, 2017);
- ▶  Técnica para o cálculo da matriz **B** baseada no programa escrito pelo [Dr. Daryl Kleist](#) ([NCEP](#)) - podemos recalcular a matriz sempre que o modelo sofrer alterações;
- ▶  [GSIError](#): pacote Python para a leitura, plotagem e comparação de matrizes de covariâncias compatíveis com o GSI no formato .gcv (BASTARZ, 2022);



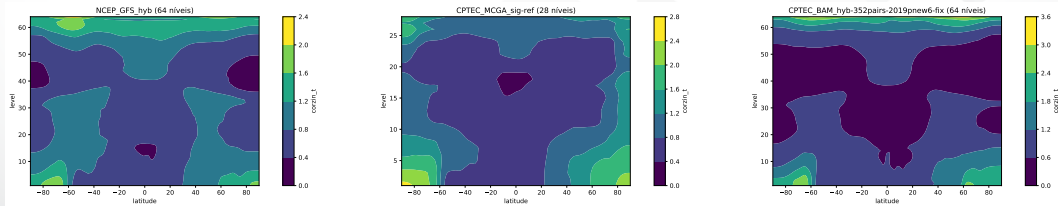
- ▶  Artigo com a aplicação deste método NMC baseado no modelo BAM V0 (FIGUEROA et al., 2016): **“Matriz de Covariâncias dos Erros de Previsão Aplicada ao Sistema de Assimilação de Dados Global do CPTEC: Experimentos com Observação Única”** (BASTARZ; HERDIES; SAPUCCI, 2017);
- ▶  Técnica para o cálculo da matriz **B** baseada no programa escrito pelo [Dr. Daryl Kleist](#) (NCEP) - podemos recalcular a matriz sempre que o modelo sofrer alterações;
- ▶  [GSIError](#): pacote Python para a leitura, plotagem e comparação de matrizes de covariâncias compatíveis com o GSI no formato .gcv (BASTARZ, 2022);
 - ▶  Demonstração disponível: 



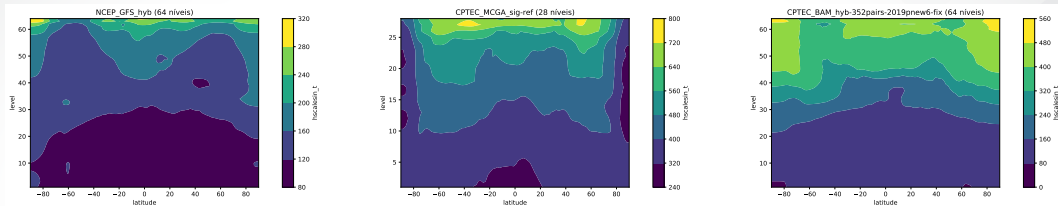
- ▶  Artigo com a aplicação deste método NMC baseado no modelo BAM V0 (FIGUEROA et al., 2016): **“Matriz de Covariâncias dos Erros de Previsão Aplicada ao Sistema de Assimilação de Dados Global do CPTEC: Experimentos com Observação Única”** (BASTARZ; HERDIES; SAPUCCI, 2017);
- ▶  Técnica para o cálculo da matriz **B** baseada no programa escrito pelo [Dr. Daryl Kleist](#) (NCEP) - podemos recalcular a matriz sempre que o modelo sofrer alterações;
- ▶  [GSIError](#): pacote Python para a leitura, plotagem e comparação de matrizes de covariâncias compatíveis com o GSI no formato .gcv (BASTARZ, 2022);
 - ▶  Demonstração disponível: 
- ▶  Preparação de uma matriz baseada no BAM V2.1.0 (em coordenada híbrida) para uso com o GSI na assimilação de dados (exemplo nos próximos slides).



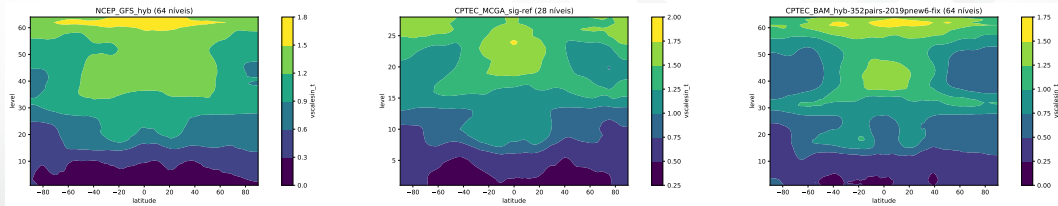
(a) Projeção da ψ no nível 0 sobre o perfil da parte balanceada da Tv ($Tv_b = G\psi$).



(b) Desvio-padrão da Tv .



(a) Comprimento de Escala Horizontal da Tv .



(b) Comprimento de Escala Vertical da Tv .

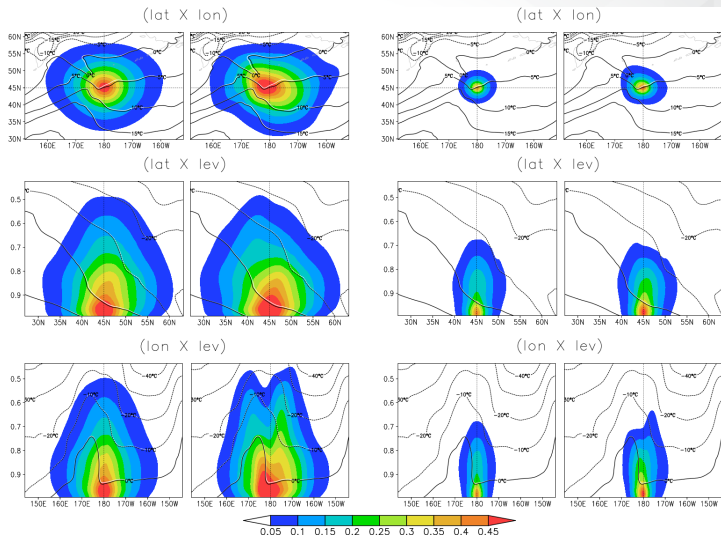


Resultados

Experimento Obs. Única

Experimento Obs. Única:

Incrementos de T em 1000 hPa.
À esquerda **B** CPTEC e à direita,
B NCEP (DTC). Para cada
matriz, testou-se a opção
anisotrópica (BASTARZ;
HERDIES; SAPUCCI, 2017).



JEDI - *Joint Effort for Data assimilation Integration*:

O JEDI é composto de vários frameworks que implementam partes específicas do sistema de assimilação, por exemplo:

- ▶ IODA - *Interface for Observation Data Access*;
- ▶ UFO - *Unified Forward Operator*;
- ▶ SABER - *System-Agnostic Background Error Representation*;


JEDI - *Joint Effort for Data assimilation Integration*:

O JEDI é composto de vários frameworks que implementam partes específicas do sistema de assimilação, por exemplo:

- ▶ IODA - *Interface for Observation Data Access*;
- ▶ UFO - *Unified Forward Operator*;
- ▶ SABER - *System-Agnostic Background Error Representation*;
- ▶ Repositórios estão concentrados no [GitHub do JCSDA](#) (*Joint Center for Satellite Data Assimilation*).

JEDI - *Joint Effort for Data assimilation Integration*:

O JEDI é composto de vários frameworks que implementam partes específicas do sistema de assimilação, por exemplo:

- ▶ IODA - *Interface for Observation Data Access*;
- ▶ UFO - *Unified Forward Operator*;
- ▶ SABER - *System-Agnostic Background Error Representation*;
- ▶ Repositórios estão concentrados no [GitHub do JCSDA](#) (*Joint Center for Satellite Data Assimilation*).
- ▶  participação na 7ª [JEDI Academy](#), de 4-8 de Outubro de 2021 (online, João e Carlos).

SABER - *System-Agnostic Background Error Representation*:

O SABER implementa o **BUMP** (*Background error on Unstructured Mesh Package*), que é uma biblioteca F90 onde estão disponíveis os métodos de cálculo da matriz **B**:

- ▶ Funciona em qualquer grade (gaussiana, esférica-cubada, não-estruturada, oceânica, área limitada);
- ▶ Trabalha em grade mais grosseira, pois em geral, as estruturas representadas pela matriz de covariância são maiores do que a grade do modelo.



Dificuldades e Desafios

Algumas Questões ?

- Precisamos sempre atualizar a matriz **B**? Com que frequência?



Dificuldades e Desafios

Algumas Questões ?

- ▶ Precisamos sempre atualizar a matriz **B**? Com que frequência?
- ▶ É necessário uma grande quantidade de pares de previsão? Qual é a quantidade ideal que representa adequadamente a variabilidade espaço-temporal dos erros do modelo?



Dificuldades e Desafios

Algumas Questões ?

- ▶ Precisamos sempre atualizar a matriz **B**? Com que frequência?
- ▶ É necessário uma grande quantidade de pares de previsão? Qual é a quantidade ideal que representa adequadamente a variabilidade espaço-temporal dos erros do modelo?
- ▶ A matriz **B** precisa estar na mesma resolução horizontal que o modelo operacional (na vertical sim!)?



Dificuldades e Desafios

Algumas Questões ?

- ▶ Precisamos sempre atualizar a matriz **B**? Com que frequência?
- ▶ É necessário uma grande quantidade de pares de previsão? Qual é a quantidade ideal que representa adequadamente a variabilidade espaço-temporal dos erros do modelo?
- ▶ A matriz **B** precisa estar na mesma resolução horizontal que o modelo operacional (na vertical sim!)?
- ▶ Para a operação: tratamento de *sst*, *oz* e *cw*;



Dificuldades e Desafios

Algumas Questões ?

- ▶ Precisamos sempre atualizar a matriz **B**? Com que frequência?
- ▶ É necessário uma grande quantidade de pares de previsão? Qual é a quantidade ideal que representa adequadamente a variabilidade espaço-temporal dos erros do modelo?
- ▶ A matriz **B** precisa estar na mesma resolução horizontal que o modelo operacional (na vertical sim!)?
- ▶ Para a operação: tratamento de *sst*, *oz* e *cw*;
- ▶ Uma forma de atualizar a matriz **B** é através de um sistema que envolva o ensemble (e.g., 3DEnVar) ou mesmo o 4DVar;



Dificuldades e Desafios

Algumas Questões ?

- ▶ Precisamos sempre atualizar a matriz **B**? Com que frequência?
- ▶ É necessário uma grande quantidade de pares de previsão? Qual é a quantidade ideal que representa adequadamente a variabilidade espaço-temporal dos erros do modelo?
- ▶ A matriz **B** precisa estar na mesma resolução horizontal que o modelo operacional (na vertical sim!)?
- ▶ Para a operação: tratamento de *sst*, *oz* e *cw*;
- ▶ Uma forma de atualizar a matriz **B** é através de um sistema que envolva o ensemble (e.g., 3DEnVar) ou mesmo o 4DVar;
- ▶ Uma média móvel pode ser uma alternativa para o caso 3DVar ou mesmo o 3DEnVar?



Dificuldades e Desafios


Algumas Questões ?


- ▶ Precisamos sempre atualizar a matriz **B**? Com que frequência?
- ▶ É necessário uma grande quantidade de pares de previsão? Qual é a quantidade ideal que representa adequadamente a variabilidade espaço-temporal dos erros do modelo?
- ▶ A matriz **B** precisa estar na mesma resolução horizontal que o modelo operacional (na vertical sim!)?
- ▶ Para a operação: tratamento de *sst*, *oz* e *cw*;
- ▶ Uma forma de atualizar a matriz **B** é através de um sistema que envolva o ensemble (e.g., 3DVar) ou mesmo o 4DVar;
- ▶ Uma média móvel pode ser uma alternativa para o caso 3DVar ou mesmo o 3DVar?
- ▶ Para o **MONAN**: não necessariamente todas as covariâncias são/serão tratadas da mesma forma (superfície terrestre pode ser mais simples do que a atmosférica - isso depende da complexidade da componente e do próprio sistema de assimilação de dados).




Referências Bibliográficas



 BASTARZ, C. F. *GSIError: Uma classe para ler e plotar os records da matriz B do Gridpoint Statistical Interpolation (GSI)*. 2022. Disponível em: <<https://github.com/GAD-DIMNT-CPTEC/GSIError>>.

 BASTARZ, C. F.; HERDIES, D. L.; SAPUCCI, L. F. Matriz de covariâncias dos erros de previsão aplicada ao sistema de assimilação de dados global do cptec: Experimentos com observação Única. *Revista Brasileira de Meteorologia [online]*, v. 32, n. 3, p. 459–472, 2017. Disponível em: <<https://www.scielo.br/j/rbmet/a/8LQNdCV9jJM9whJdpkDLfCh/abstract/?lang=pt>>.

 FIGUEROA, S. N. et al. The brazilian global atmospheric model (bam): Performance for tropical rainfall forecasting and sensitivity to convective scheme and horizontal resolution. *Weather and Forecasting*, American Meteorological Society, Boston MA, USA, v. 31, n. 5, p. 1547 – 1572, 2016. Disponível em: <https://journals.ametsoc.org/view/journals/wefo/31/5/waf-d-16-0062_1.xml>.

 PARRISH, D. F.; DERBER, J. The national meteorological center's spectral-statistical interpolation analysis system. *Monthly Weather Review*, v. 120, p. 1747–1763, 1992. Disponível em: <<https://repository.library.noaa.gov/view/noaa/11449>>.



MINISTÉRIO DA CIÊNCIA, TECNOLOGIA E INOVAÇÕES
INSTITUTO NACIONAL DE PESQUISAS ESPACIAIS